

LBR-5, UN MODELE INTEGRE D'OPTIMISATION DES STRUCTURES NAVALES ET HYDRAULIQUES



Philippe RIGO

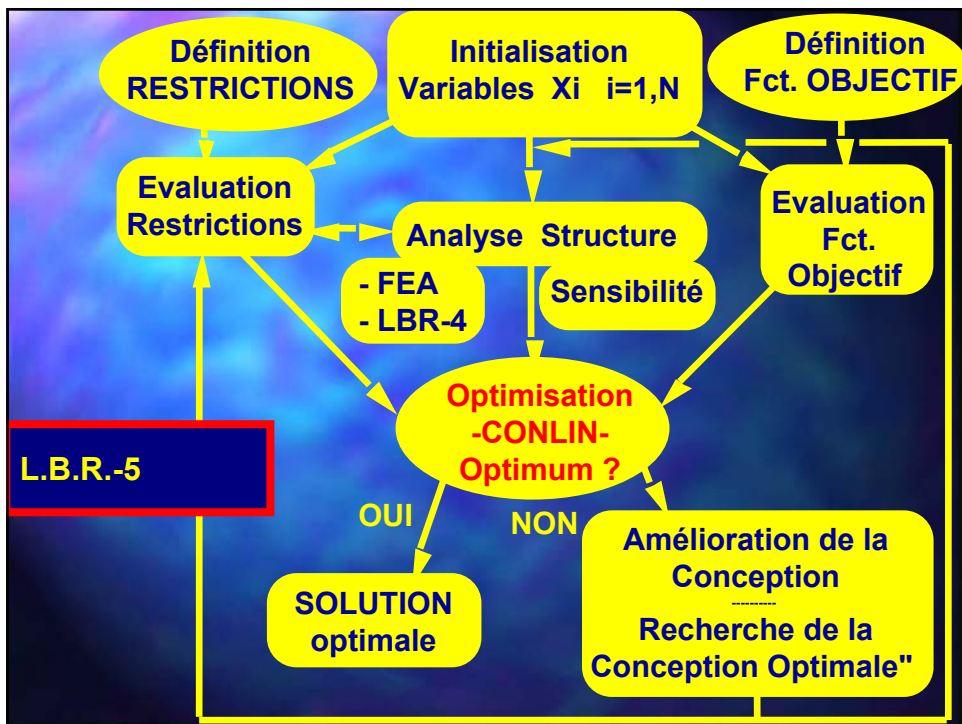


ANAST Université de Liège & DN&T



OBJECTIFS DE LA RECHERCHE

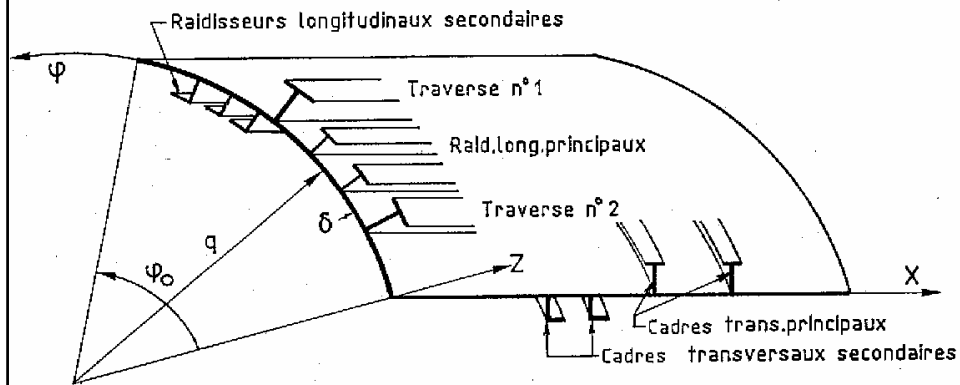
- **OPTIMISATION STRUCTURELLE,**
- **OPTIMISATION DU COUT DE CONSTRUCTION**
- **ACCESSIBLE DES L'AVANT-PROJET,**
- **MODELE POLYVALENT**
 - **CONSTRUCTIONS NAVALES et OFFSHORE**
 - **STRUCTURES HYDRAULIQUES (GENIE CIVIL)**



COMPOSANTS DU PROCESSUS D'OPTIMISATION

- X_i $i = 1, N$ les N variables de conception
avec $X_{i \min} \leq X_i \leq X_{i \max}$ $i = 1, N$
- $F(X_i)$ la fonction objectif à minimiser,
- $C_j(X_i) \leq CM_j$ $j = 1, M$
les $M1$ restrictions structurelles et
 $M2$ restrictions géométriques

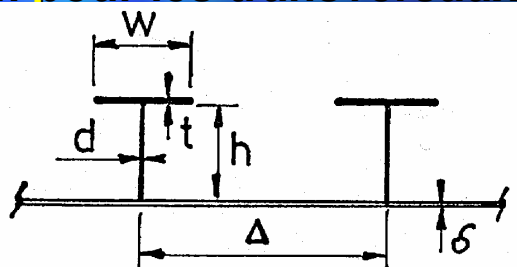
1 PANNEAU RAIDI - variables de conception -



ANAST ULg

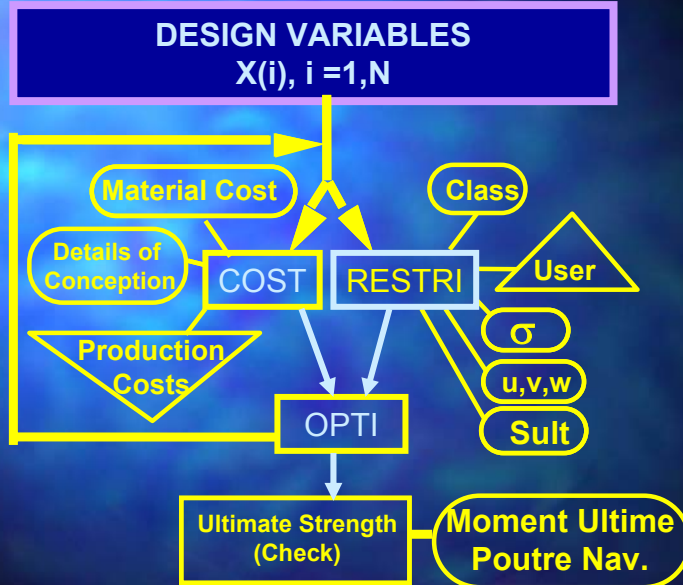
VARIABLES DE CONCEPTION

- Epaisseur du bordé
- Dimensions et entredistance des longitudinaux
- Idem pour les transversaux



ANAST ULg

FLOW CHART of L.B.R.-5



20-Oct-07

ANAST ULg

LBR-5 --> Optimization Algorithm

Responses → Implicit & Non Linear
CONSTRAINED PROBLEM

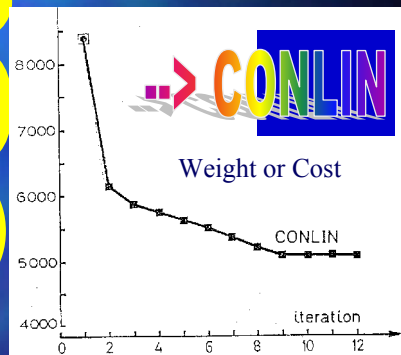
→ CONVEX LINEARIZATION ←

Responses → Explicit & Linear
CONSTRAINED PROBLEM

→ DUAL APPROACH ←

Unconstrained, Explicit & Linear
Problem → EASY

Needs only 10 iterations.
Convergence in Feasible Space



CONLIN

**PRACTICAL ANALYSIS :
CONSTRAINED & NON LINEAR**

**A SERIE OF
CONVEX APPROXIMATED PROBLEM
(Convex linearization with constraints)**

DUAL APPROACH

**QUASI UN-CONSTRAINED METHODS
($\lambda \leq 0$)
(resolution with the conjugate gradient
or Newton Methods)**

20-Oct-07

ANAST ULg

CONVEX LINEARISATION

Linearization with X

$$C(X_i) = \tilde{C}(X_i) = C(X_i(0)) + \sum [X_i - X_i(0)] \cdot \partial C(X_i(0)) / \partial X_i$$

Linearization with 1/X

$$C(X_i) = \tilde{C}(X_i) = C(X_i(0)) + \sum [1/X_i - 1/X_i(0)] \cdot \partial C(X_i(0)) / \partial (1/X_i)$$

**Linéarisation with X if $\partial C / \partial x > 0$ and
with 1/X if $\partial C / \partial x < 0$**

$$C(X_i) = \tilde{C}(X_i) = C(X_i(0)) + \sum [X_i - X_i(0)] \cdot \partial C(X_i(0)) / \partial X_i \\ + \sum_{-} [1/X_j - 1/X_j(0)] \cdot (X_j(0))^2 \cdot \partial C(X_j(0)) / \partial X_j$$

- Convex Approximations -

$$C1(X) = 5 X_2 - X_1^2 - 10 \leq 0$$

$$C2(X) = 5/4 X_2^2 + 16 / X_1^2 - 13 \leq 0$$

En $X(0) = (2,2)$:

$$C1(2,2) = C2(2,2) = -4$$

$$\partial C1(2,2)/\partial X = \partial C2(2,2)/\partial X = (-4, 5)$$

With X : $5 X_2 - 4 X_1 - 6 \leq 0$

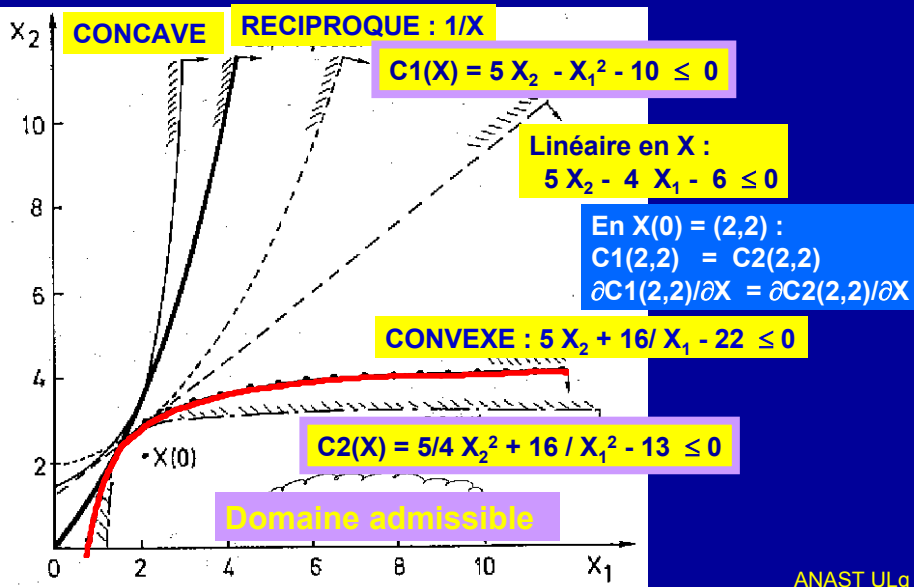
With $1/X$: $-20/X_2 + 16/X_1 - 2 \leq 0$

Convexe : $5 X_2 + 16/X_1 - 22 \leq 0$

20-Oct-07

ANAST ULg

- Approximations Convexes -



SENSIBILITY ANALYSIS

AT EACH ITERATION OF THE OPTIMISATION PROCESS, we need :

- $XI = X_o$; $F(X_o)$ and $C(X_o)$
- $\partial F(X_o) / \partial XI$ and $\partial C(X_o) / \partial XI$
= Sensibilities

20-Oct-07

ANAST ULg

AVANTAGES de CONLIN

- Nombre réduit d'itérations
($N < 10, 15$)
- Convergence dans le domaine admissible
- ...

ANAST ULg

LISTE DES RESTRICTIONS

- **BORNES** : $X_{i \min} \leq X_i \leq X_{i \max}$
 - pour chaque variable
- **RESTRICTIONS GEOMETRIQUES**
 - pour chaque panneau
- **RESTRICTIONS STRUCTURELLES**
 - pour chaque panneau
 - relative à la structure globale

ANAST ULg

$$\text{BORNES : } X_{i \min} \leq X_i \leq X_{i \max}$$

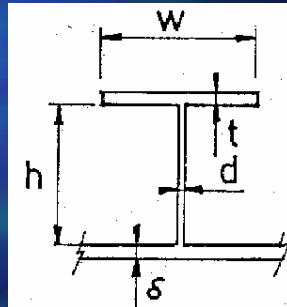
Limitations technologiques

- Fabrication
- Usure
- Corrosion
- Dimensions commerciales
- ...

ANAST ULg

RESTRICTIONS GEOMETRIQUES

- Rigidité relative âme/bordé
 $3 \delta - h \leq 0$ (cohérence)
- Élancement des semelles
 $8 \leq w/t \leq 16$
- Cohérence du profilé
 $t - 2.d \leq 0$
(soudabilité)



ANAST ULg

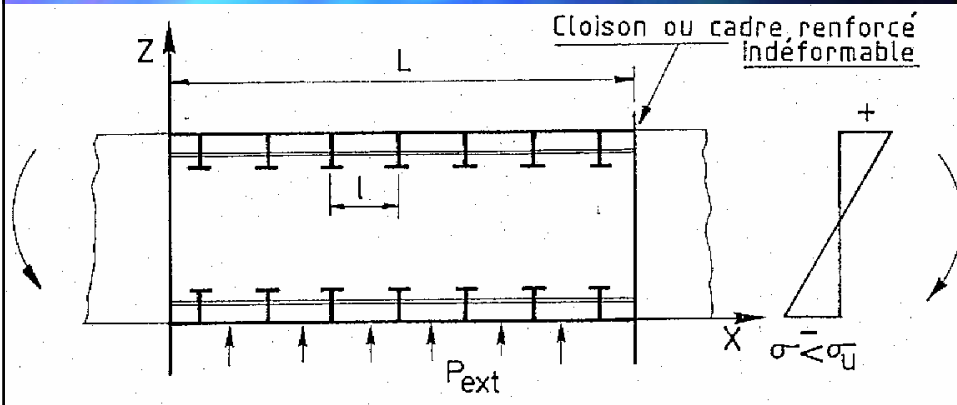
RESTRICTIONS STRUCTURELLES

- **ELEMENTS CONCERNES**
 - Panneaux raidis
 - Cadres
 - Structure d'ensemble
- **ETATS LIMITES**
 - Etats limites de service
 - Etats limites ultimes

ANAST ULg

RESTRICTIONS STRUCTURELLES

- Flexion d'ensemble -

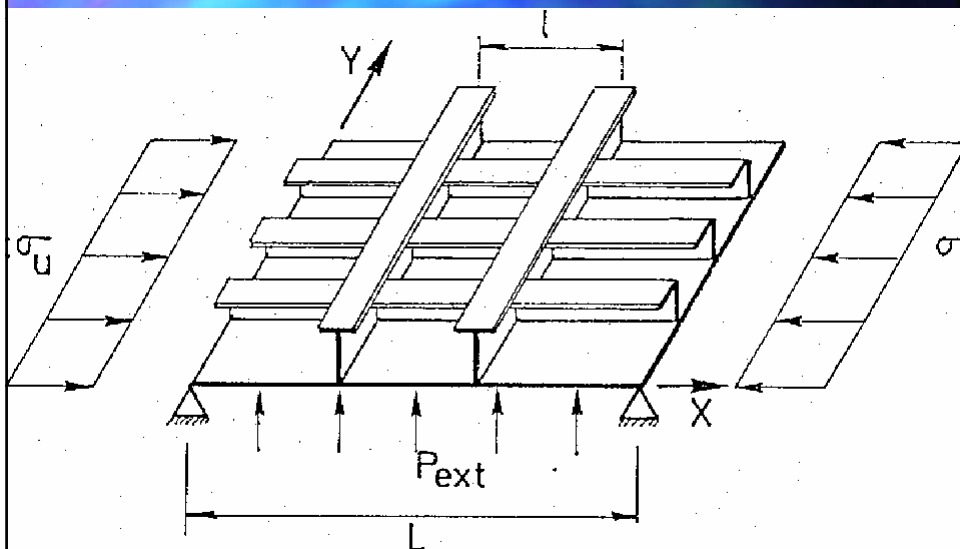


FLEXION DE LA POUTRE NAVIRE

ANAST ULg

RESTRICTIONS STRUCTURELLES

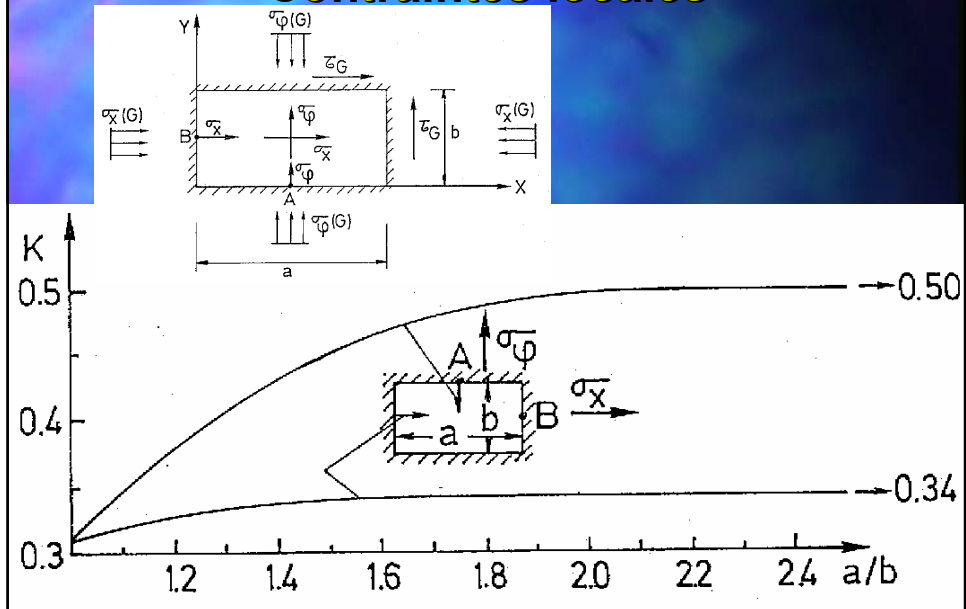
- Panneaux raidis orthotropes -



ANAST ULg

RESTRICTIONS STRUCTURELLES

- Contraintes locales -

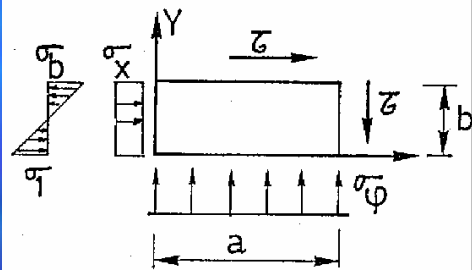


RESTRICTIONS STRUCTURELLES

- Contraintes locales : voilement -

$$\sigma_{cr} = K \cdot E \cdot (\delta/b)^2$$

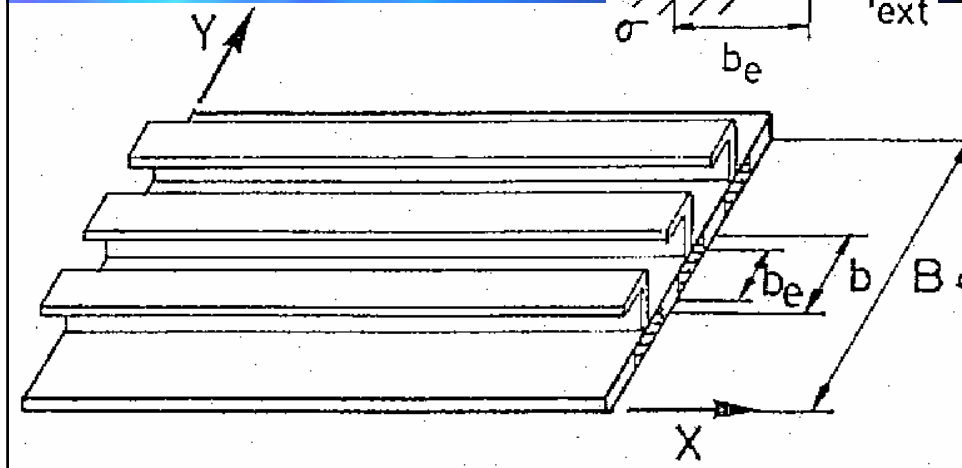
$$R_x = \sigma_x / (\sigma_x)_{cr}$$



$$\frac{0,625(1 + 0,6 / \alpha) R_\phi}{(1 - 0,625 \cdot R_x) \left(1 - \frac{R_b^4}{(1 - R_x)^2} \right)} + \frac{R_s^2}{(1 - R_x)} \leq 1$$

RESTRICTIONS STRUCTURELLES

- Panneaux Intercostaux
- Poutre Colonne



RESTRICTIONS STRUCTURELLES

- Instabilité des panneaux intercostaux -

Modèles

Paik

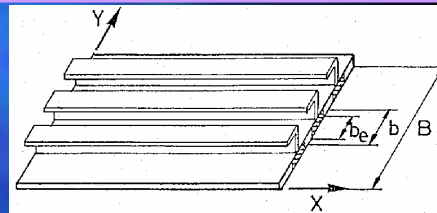
(Form. empirique)

Hughes (Form. Rationnelle)

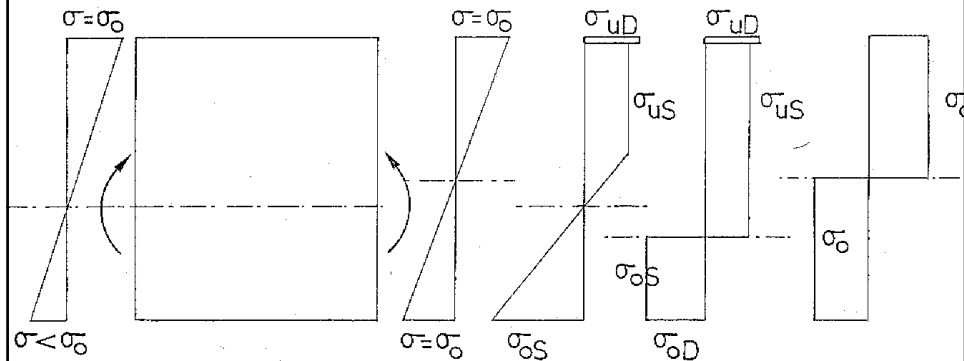
Imperial College (Form. Rationnelle)

Equation de Perry

Equation d'interaction



Résistance Ultime d'Ensemble (Calcul Direct : modèle de PAIK)



Début de
Plastic.

SAGGING

Modèle
Paik

Modèle
Cadwell

Plastic.
totale

ANAST ULg

COUT de CONSTRUCTION

Matériaux &
Consommables

$$P_{MAT} = \sum_{j=1}^K Q_j \cdot P_j$$

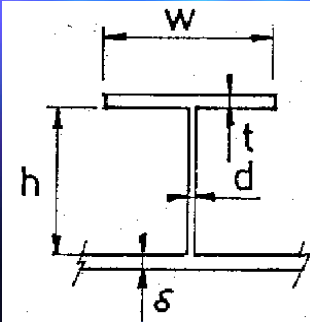
Main d'œuvre

$$P_{MdO} = \sum_{i=1}^{NT} T_i \cdot M_i \cdot S_i$$

Frais généraux

- Modèle Coût de L.B.R.-5 -

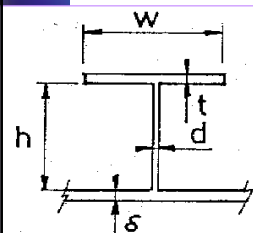
$$\text{COUT} = \text{Fct} \left\{ \begin{array}{l} \delta \\ \{ h, d, w, t \text{ (long.)} \\ \Delta_{\text{long}} \\ \{ h, d, w, t \text{ (Trans.)} \\ \Delta_{\text{trans}} \end{array} \right\}$$



ANAST ULg

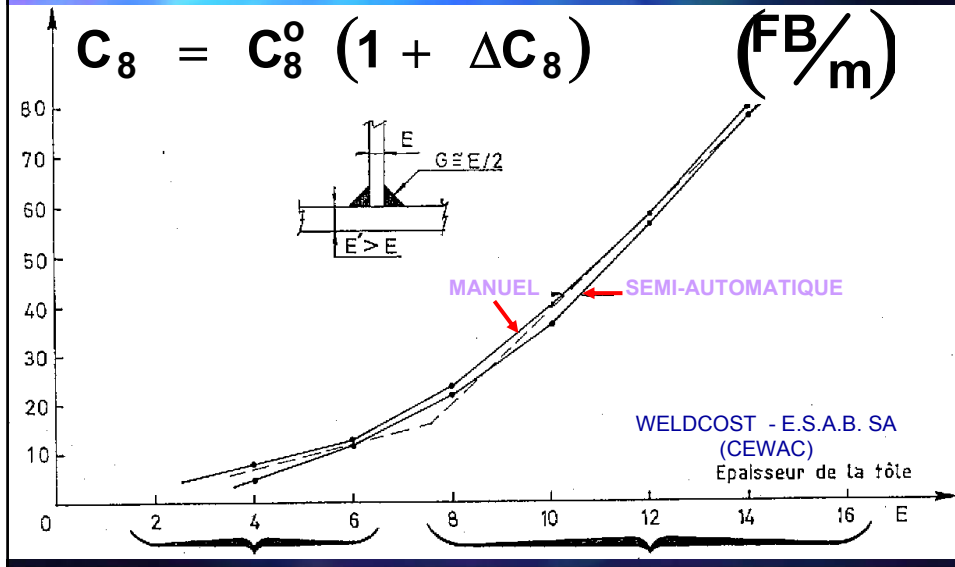
- Coût des Matériaux - (Fct. Objectif Poids)

$$\mathbf{F_{MAT} = \gamma \ L \ B} \left[\begin{array}{l} C_1 \cdot \delta \\ + C_2 \cdot \frac{(h \cdot d + w \cdot t)_x}{\Delta_x} \\ + C_3 \cdot \frac{(h \cdot d + w \cdot t)_y}{\Delta_y} \end{array} \right] \quad (\text{FB})$$

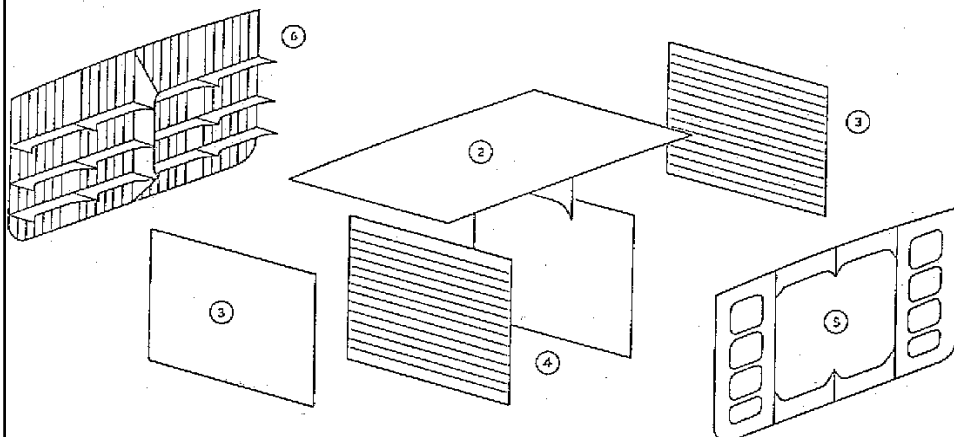


ANAST ULg

- Coût des Consommables -

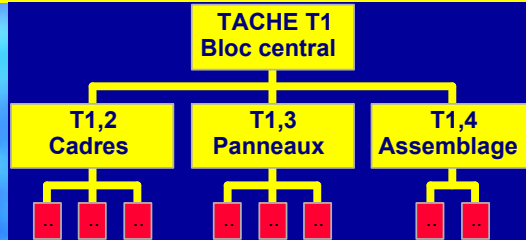


Décomposition des Tâches



Bateau --> Blocs
 Blocs --> Modules
 Modules --> Panneaux et sous ensembles
 Panneaux --> Eléments (bordé, raidisseurs, ..

Coût de la Main d'œuvre



$$P_{MdO} = \left(\sum_{i1=1}^{NT1} M_{i1} \cdot \left[\sum_{i2=1}^{NT2} M_{i2} \left[\dots \left[\sum_{ik=1}^{NTk} M_{ik} \left[\dots \left(\sum_{in=1}^{NTn} M_{in} \cdot T_{in} \cdot S_{in} \right) \right] \right] \right] \right] \right]$$

NT = Nombre de tâches standards différentes ($i=1, NT$),

T_i = Charge de travail pour la tâche standard i
(heures-hommes),

M_i = Nombre d'occurrences de la tâche T_i ,

S_i = Coût horaire de la MdO pour la tâche T_i (FB/h-h)

- Coût de la Main d'œuvre -

$$F_{MdO} = \eta \cdot k \cdot C_1^o \cdot MdO$$

$$MdO = L \cdot B \left[\begin{aligned} & \frac{1}{\Delta_X} \cdot P_4 + \frac{1}{\Delta_Y} \cdot P_5 \\ & + \frac{1}{\Delta_X \cdot \Delta_Y} (P_6 + \beta_X \cdot \beta_Y \cdot P_7) \\ & + \frac{1 - \alpha_X}{\Delta_X} \cdot P_9(X) + \frac{1 - \alpha_Y}{\Delta_Y} \cdot P_9(Y) \\ & + P_{10} \end{aligned} \right]$$

Avantages du modèle LBR-5

CONCLUSION

- **Avant-projet,**
- **Optimisation du coût de production,**
- **Polyvalence,**
- **Versatilité (Opt. Orientée modules),**
- **Calculs directs,**